

第十三章 光的干涉

13.1 光波及相干条件

科学技术史	1637	笛卡尔：《屈光学》 光的折射定律
	1678	惠更斯：《论光》 光是一种波，传播光的介质是以太
	1704	牛顿：《光学》 粒子流
	1800	托马斯杨：杨氏双缝：证明光的干涉现象
	1815	菲涅尔：完善惠更斯理论，子波相干思想。
	1900	普朗克量子假说
	1905	爱因斯坦：光量子假设，光电效应理论，光又一次被认为是粒子流
	1923	德布罗意：光和实物粒子都具有波粒二象性

光学研究内容 光的现象、光的本质、光与物质的相互作用

光学分类 几何光学：光的直线传播为理论基础，研究各种光学仪器

波动光学：光的波动性为基础，研究光的电磁性质和传播规律（干涉、衍射、偏振）

量子光学：光的量子理论为基础，研究光与物质相互作用规律

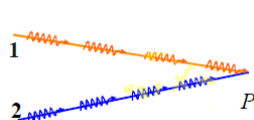
13.1.1 光波

光源 定义 发射光波的物体称为光源。光是电磁波，引起人视觉的是光矢量 \vec{E}

光振幅： E_0 光速： $\frac{1}{\sqrt{\epsilon\mu}}$ 同一媒质中的相对光强： $I = E_0^2$

可见光波段范围：400 – 760nm 3.96 – 7.5 × 10¹⁴Hz

发光机制 普通光源发光特点：原子发光是断续的，每次发光形成一个长度有限的波列。各原子各次发光相互独立，各波列互不相关。电子从激发态跃迁到基态自发辐射 $\Delta E = h\nu$



周期一般为 $\Delta t = 10^{-8} \sim 10^{-10} s$

自发辐射：原子发光是间隙式的，各个原子发光完全独立互不相关其何时发光是完全不确定的。发光频率、振动方向、初相位、传播方向等都可能不同。所以，不同原子发的光不可能产生干涉现象。例如，普通灯泡发光、火焰、电弧、聚变大火球。

受激辐射：激光光源，所释放光子为全同光子（频率、相位、振动、传播方向完全一致）可以实现光放大；单色性好；相干性好

例如，氦氖激光器、红宝石激光器、半导体激光器等

单色光 具有单一频率的光波称为单色光

复色光 不同频率单色光的混合光称为复色光

光谱曲线 如右图

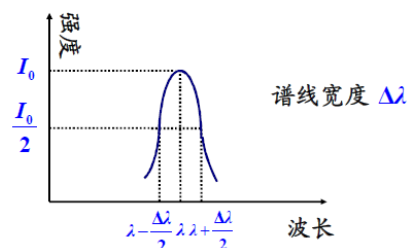
波函数： $y = A \cos(\omega t - kx + \varphi)$ 代表一列无限延续的平面单色光波

普通光源：具有间隙性与随机性， $\bar{\lambda} \gg \Delta\lambda$ 称为准单色光

光源单色性好坏参量： $\Delta\nu$ $\Delta\lambda$ 光振动：电矢量 E 的振动

光强： $I = \frac{1}{2} E_0 H_0 = \frac{1}{2} \sqrt{\frac{\epsilon}{\mu}} E_0^2 = \frac{n}{2\mu c} E_0^2$

发散球面波： $E(\vec{r}, t) = \frac{E_0}{r} \cos(kr - \omega t - \phi_0)$

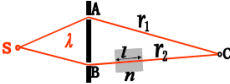


13.1.2 光程 Optical Path

物理意义 光在媒质中通过的几何路程，按波数相等折合到真空中的路程

推导 真空中 $n_0 = 1$ ，光速为 c ，光波进入媒质($n > 1$)，则波长被压缩 $\lambda' = \lambda/n$ ，速度减慢 $v = c/n$ 。此时，光在媒质中通过路程 x ，相当于光在真空中通过 $l = nx$ 的路程

一般式 $L = \sum_i n_i x_i$ 分段求和

示例  有单色点光源 S 发光，通过 A 、 B ，到达 C 点，求光程差 $L_{BC} - L_{AB}$
则 $L_{BC} = r_2 - l + nl$ $L_{AC} = r_1$ 故光程差 $\delta = r_2 - r_1 + (n-1)l$

两束波的光程差

振动方程 $E = E_0 \cos(\omega t + \varphi_0)$

波动方程 $E = E_0 \cos(\omega t - kx + \varphi_0) = E_0 \cos(\omega t - \frac{2\pi x}{\lambda} + \varphi_0)$

推导 如右图: $E_1 = E_{10} \cos(2\pi(ft - \frac{r_1}{\lambda_1}) + \varphi_{10})$

$$E_2 = E_{20} \cos(2\pi(ft - \frac{r_2}{\lambda_2}) + \varphi_{20})$$

两者在 P 点的相位差为 $\Delta\phi = \frac{2\pi r_2}{\lambda_2} - \frac{2\pi r_1}{\lambda_1}$ 折算到真空中波长 λ_0

$$\text{有: } \Delta\phi = \frac{2\pi n_2 r_2}{\lambda_0} - \frac{2\pi n_1 r_1}{\lambda_0} = \frac{2\pi}{\lambda_0} (n_2 r_2 - n_1 r_1)$$

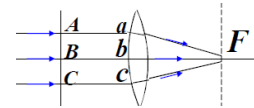
光程差 $\Delta = n_2 r_2 - n_1 r_1$

相位差 $\Delta\phi = \frac{2\pi}{\lambda} \Delta$ 其中 $k = \frac{2\pi}{\lambda}$ 称为角波数， \vec{k} 称为波矢

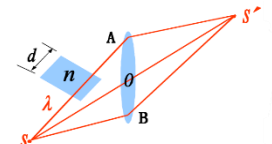
透镜情况

结论 使用理想透镜不会引起各相干光之间的附加光程差

凸透镜 如图， AaF 比 BbF 经过的几何路程长，但 BbF 在透镜中的路程比 AaF 长，透镜折射率大于1，折算成光程，可以证明 AaF 光程等于 BbF 。无论是平面波垂直会聚，还是发散球面波经过透镜汇聚，其相位差为零，光程差为零。



凸透镜光程示意



插入媒质后光程差

插入媒质 如图插入 n 后，经过 SAS' 的一路光与其他两路光之间的光程差均为 $\delta = d(n-1)$ ， $\Delta\phi = 2\pi \frac{d(n-1)}{\lambda}$

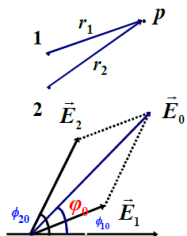
13.1.3 相干条件 Coherent Condition

干涉 由于光波叠加引起光强重新分布的现象，称为光的干涉

条件 如 13.1.1 所述，独立发光的振动方向、相位差很难相同，对两个普通光源，无法产生干涉现象。原子自发辐射的间断性和相位随机性，不利于干涉条件的实现。

必要条件：频率相同、振动方向相同、相位差恒定

两列光波的叠加



有两列光波: $\omega_1 = \omega_2 = \omega$ 在 P 点处: $E_1 = E_{10} \cos(\vec{k}_1 \cdot \vec{r}_1 - \omega t - \varphi_{10})$

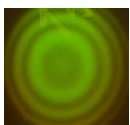
$E_2 = E_{20} \cos(\vec{k}_2 \cdot \vec{r}_2 - \omega t - \varphi_{20})$ 则叠加为 $E = E_1 + E_2 = E_0 \cos(\vec{k} \cdot \vec{r} - \omega t - \varphi_0)$

$E_0^2 = E_{10}^2 + E_{20}^2 + 2E_{10}E_{20} \cos \Delta\phi$ (用作图法可确定) 其中 $\Delta\phi = 2\pi \frac{r_2 - r_1}{\lambda} - (\varphi_{20} - \varphi_{10})$

平均光强为: $I = I_1 + I_2 + 2\sqrt{I_1 I_2} \cos \Delta\phi$

非相干光源: $\overline{\cos \Delta\phi} = 0 \Rightarrow I = I_1 + I_2$

完全相干光源: $I = I_1 + I_2 + 2\sqrt{I_1 I_2} \overline{\cos \Delta\phi}$



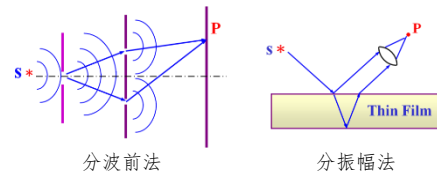
干涉图

干涉判据

相长干涉	$\Delta\varphi = \pm 2k\pi \ (k = 0, 1, 2, 3, \dots)$	$\cos \Delta\varphi = 1$	$I = I_1 + I_2 + 2\sqrt{I_1 I_2}$	亮环
相消干涉	$\Delta\varphi = \pm (2k + 1)\pi \ (k = 0, 1, 2, 3, \dots)$	$\cos \Delta\varphi = -1$	$I = I_1 + I_2 - 2\sqrt{I_1 I_2}$	暗环
一般情况	$\Delta\varphi = 2\pi \frac{r_2 - r_1}{\lambda} - (\varphi_{20} - \varphi_{10}) -$ 一般相等 $2\pi \frac{r_2 - r_1}{\lambda} = 2\pi \frac{\delta}{\lambda}$			
其他表述	$\begin{cases} \delta = \pm 2k \frac{\lambda}{2}, & k = 0, 1, 2, \dots \\ \delta = \pm (2k + 1) \frac{\lambda}{2}, & k = 0, 1, 2, \dots \end{cases}$			

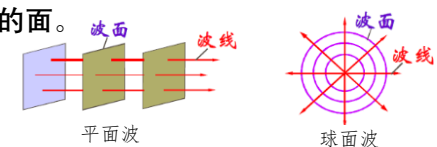
13.1.4 获得相干光波的两类典型方法

分波前法	将点光源的波阵面分为两部分，使之分别通过两个光具组
分振幅法	光投射到透明薄膜上下表面依次反射
分振动面法	晶体振动



波的相关概念

波线	也称波射线，从波源沿个传播方向所画的带箭头的线
波面	也称相面、波阵面，泊在传播过程中，所有振动相位相同的点连成的面。
波前	最前面的波面，即波源最初振动状态传播到各点所连成的面
性质	<ol style="list-style-type: none"> ① 在各向同性的均匀介质中，波线 \perp 波面 ② 根据波前的形状可划分波为：平面波、球面波、柱面波等



章节例题

1. 如图，在BC之间插入折射率为 n ，厚度为 l 的介质。求光由A,B到C的相位差

有 $\Delta\varphi = \frac{2\pi}{\lambda} \delta$ $\Delta\varphi = \frac{2\pi}{\lambda} (r_2 - l + nd - r_1) = \frac{2\pi}{\lambda} [(r_2 - r_1) + (n - 1)l]$

2. 两束平行相干光，每一束照明强度为 I ，照射表面彼此同相地合并在一起，则合照光光强为 $4I$

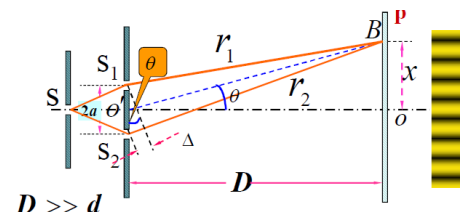
3. 单色光从空气射入水中，则波长变短，光速变慢

13.2 分波前干涉

13.2.1 杨氏实验

实验装置	$\sin \theta \approx \tan \theta = \frac{x}{D}$ 光程差 $\Delta = r_2 - r_1 \approx 2a \sin \theta = \frac{2a}{D} x$
------	--

明暗条纹位置
$$x = \begin{cases} \text{明} & \pm \frac{D}{2a} 2k \frac{\lambda}{2}, & k = 0, 1, 2, \dots \\ \text{暗} & \pm \frac{D}{2a} (2k + 1) \frac{\lambda}{2}, & k = 0, 1, 2, \dots \end{cases} \Rightarrow \begin{cases} \pm k \frac{D}{2a} \lambda \\ \pm \frac{(2k+1)\lambda D}{4a} \end{cases}$$



杨氏干涉条纹是等间距的，相邻亮条纹之间间距为 $\Delta x = \frac{D}{2a} \lambda$

若使用复色光源(白光)，则干涉条纹是彩色的。杨氏干涉可以用于测量波长，是光波动性的依据
二级亮纹-一级暗纹-一级亮纹-零级暗纹-中央亮纹-零级暗纹-一级亮纹-一级暗纹-二级亮纹

条纹分布

讨论 条纹间距与 λ 的关系

- ① 双缝间距、板距一定时，增大波长，则增大条纹间距
- ② 波长、板距一定时，增大双缝间距，则减小条纹间距

例题

1. 一束波长为 λ 的光线透过双缝，在屏上形成干涉条纹，如果P点是第零级暗纹的位置，则该点的光程差为？

$\delta = r_2 - r_1 = \lambda/2$

2. 用白光进行双缝实验, 用一个纯红色的滤光片遮盖一条缝, 用一个纯蓝色的滤光片遮盖另一条缝, 则:
不产生干涉条纹

3. 在双缝实验中, $2a = 0.3\text{mm}$, $d = 1.2\text{m}$ 。从中央向两侧数两根**第五条暗纹**之间的间隔为 22.8mm , 求 λ

$$\text{则 } \Delta x = \frac{\lambda D}{2a} = \frac{22.8}{9}(\text{mm}) \quad \text{则 } \lambda = 6333\text{\AA}$$

4. 杨氏双缝中, 波长 $\lambda = 550\text{nm}$, 双缝间距 $d = 2 \times 10^{-4}\text{m}$, 板距 $D = 2\text{m}$, 求

① 中央明纹两侧的两条**第十级明纹**中心间距

② 用一厚度为 $t = 6.6 \times 10^{-6}\text{m}$, 折射率 $n = 1.58$ 的玻璃片覆盖一缝, 求零级明纹将移动到原来的第几级明纹处?

$$1. \text{ 有 } \Delta x = 20 \frac{D\lambda}{d} = 20 \times \frac{2 \times 5.5 \times 10^{-7}}{2 \times 10^{-4}} = 0.11\text{m}$$

$$2. \text{ 有玻璃片后, 零级明纹光程差为: } \Delta x' = [nt + 1 \cdot (r_2 - t)] - 1 \cdot r_1 = (n - 1)t + (r_2 - r_1) = 0$$

$$\text{可得 } r_1 - r_2 = (n - 1)t = 3.828 \times 10^{-6}\text{m} \quad \text{没有玻璃片时, 可令光程差为 } \Delta = r_1 - r_2 = k\lambda$$

$$\text{得: } k = \frac{3.828 \times 10^{-6}}{\lambda} = \frac{3.828 \times 10^{-6}}{5.5 \times 10^{-7}} = 6.96 \approx 7 \quad \text{移到原来的第七级明纹处}$$

5. 杨氏双缝中, 双缝间距 0.45mm , 波长 540nm 。① 要使得条纹间距为 1.2mm , 求板距

② 若有折射率为 1.5 , 厚度为 $9.0\mu\text{m}$ 的薄玻璃片遮盖狭缝 S_2 , 求光屏上干涉条纹将发生什么变化?

$$1. \text{ 由 } \Delta x = \frac{D}{2a} \lambda \text{ 可得 } D = \frac{d \Delta x}{\lambda} = 1.0\text{m}$$

$$2. S_2 \text{ 遮盖前中央亮纹在 } x = 0 \text{ 处, 遮后光程差为 } \Delta = (nh + r_2 - h) - r_1 = h(n - 1) + (r_2 - r_1) = h(n - 1) + \frac{d}{D} x$$

$$\text{中央亮纹应满足 } \Delta = 0 \text{ 的条件, 于是有 } h(n - 1) + \frac{d}{D} x = 0, \text{ 则遮后中央在 } x = -\frac{h(n - 1)D}{d} = -1 \times 10^{-2}\text{m}$$

说明干涉条纹整体向下移动了 10mm

6. 折射率为 1.5 的玻璃片插入杨氏实验的一束光路中, 光屏上原来的第五级亮纹所在位置变为新的中央条纹, 试求插入的玻璃片的厚度。已知 $\lambda = 6 \times 10^{-7}\text{m}$

$$\text{原本的第五级}(k = 5)\text{亮条所在位置满足条件: } d \cdot \frac{x}{D} = 5\lambda$$

$$\text{玻璃片插入后, 该位置变为 } k = 0, \text{ 对应光程差为 } d \cdot \frac{x}{D} - (nh - h) = 0, \text{ 代入可得:}$$

$$5\lambda - (nh - h) = 0 \Rightarrow h = \frac{5\lambda}{n - 1} = 6 \times 10^{-6}\text{m}$$

13.2.2 其他分波阵面干涉装置

洛埃镜(劳埃镜) 当屏幕 E 移动到 E' 处, 从 S_1, S_2 到 L 点的光程差为零, 但是观察到了暗条纹, 验证里反射时有半波损失的存在。

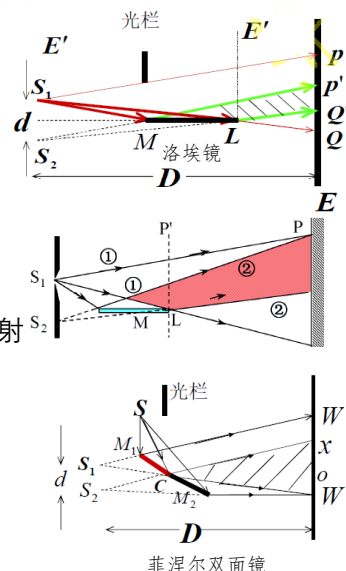
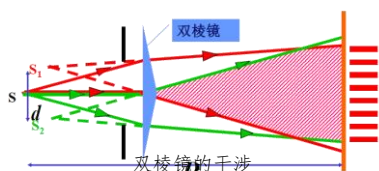
半波损失 光从**光疏介质射向光密介质**的反射过程中, 反射光在离开发射点时, 振动方向相对于入射光到达入射点时的振动方向相反。
对于洛埃镜, 它是入射光和镜面反射光相互干涉。在镜端两相干光束的光程相等, 理应是亮条纹, 但实际上是暗条纹, 原因在于光在镜面上反射

菲涅尔双面镜 虚光源 S_1, S_2 , $\overline{S_1 S_2}$ 平行于 $\overline{WW'}$, 有 $d \ll D$

屏幕上 O 点在两个虚光源连线的垂直平分线上, 屏幕上明暗条纹中心

$$\text{对 } O \text{ 点的偏移 } x \text{ 为: } \begin{aligned} x &= k\lambda \frac{D}{d} && \text{明纹中心} \\ x &= \frac{2k+1}{2} \lambda \frac{D}{d} && \text{暗纹中心} \end{aligned} \quad k = 0, \pm 1, \pm 2, \dots$$

双棱镜



13.3 分振幅干涉

13.3.1 薄膜干涉 Film Interference

概述 薄膜干涉是采用**分振幅法**获得相干光束的。

等倾干涉

光程差

$$n_2 > n_1 \quad CD \perp AD \quad \frac{\sin i}{\sin r} = \frac{n_2}{n_1}$$

$$\Delta_{32} = n_2(AB + BC) - n_1AD + \frac{\lambda}{2}$$

$$\text{考虑到 } AB = BC = d / \cos r \quad AD = AC \sin i = 2d \cdot \tan r \cdot \sin i$$

$$\text{则有 } \Delta_{32} = \frac{2d}{\cos r} n_2(1 - \sin^2 r) + \frac{\lambda}{2} = 2n_2d \cos r + \frac{\lambda}{2}$$

$$\text{反射光光程差: } \Delta_r = 2d \sqrt{n_2^2 - n_1^2 \sin^2 i} + \frac{\lambda}{2} \quad \text{注意: } \frac{\lambda}{2} \text{ 这一项要视具体情况而定}$$

明暗情况

$$\Delta_r = \begin{cases} k\lambda & k = 1, 2, \dots \quad \text{加强} \\ (2k+1)\frac{\lambda}{2} & k = 0, 1, 2, \dots \quad \text{减弱} \end{cases}$$

分类讨论

$$\textcircled{1} n_1 < n_2 < n_3 \quad \text{则界面反射条件相同}$$

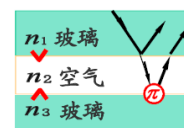
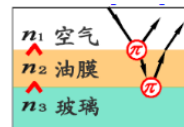
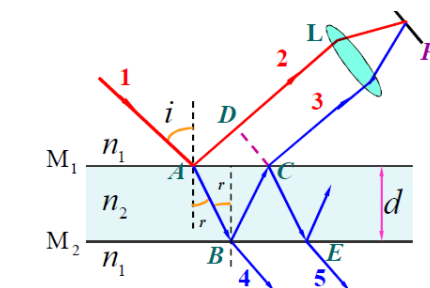
$$\text{附加相位差 } \Delta\varphi' = \pi - \pi = 0$$

$$\text{附加光程差 } \delta' = \frac{\lambda}{2} - \frac{\lambda}{2} = 0$$

$$\textcircled{2} n_1 < n_2 > n_3 \text{ 或 } n_1 > n_2 < n_3 \quad \text{则界面反射条件不同}$$

$$\text{附加相位差 } \Delta\varphi' = \pi - 0 = \pi$$

$$\text{附加光程差 } \delta' = \frac{\lambda}{2} - 0 = \frac{\lambda}{2}$$



透射光

$$\text{透射光光程差: } \Delta_t = 2d \sqrt{n_2^2 - n_1^2 \sin^2 i}$$

透射光和反射光具有**互补性**(能量守恒定律),对同样的入射光,反射干涉加强时,透射干涉减弱

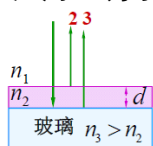
半波损失

光疏介质→光密介质,反射光有 **π 相位**的突变,相当于反射光光程有半个波长的损失。

应用-增透膜和增反膜

利用薄膜干涉可以**提高光学器件的透光率**

应用: 为了增加透射率,求**氟化镁膜**的最小厚度。已知空气 $n_1 = 1$,氟化镁 $n_2 = 1.38$,入射 $\lambda = 550\text{nm}$



$$\Delta_r = 2dn_2 = (2k+1)\frac{\lambda}{2} \quad \text{取干涉减弱, 则 } k = 0, \quad d = d_{\min} = \frac{\lambda}{4n_2} = 99.6\text{nm}$$

$$\text{则 } \Delta_t = 2n_2d + \frac{\lambda}{2} = \lambda \quad \text{增强}$$

等厚干涉

描述

处于同一条干涉条纹上的各个光点,是由**薄膜上厚度相同的地方**的反射光所形成的,故称等厚干涉

典型情形

竖直放置的肥皂膜、空气劈尖、牛顿环等

分类对比

等倾干涉

发源: 薄膜厚度均匀 d 一定, Δ 随着入射角 i 变化

情形

- ① 同一入射角, 对应同一干涉条纹
- ② 不同入射角, 对应不同条纹
- ③ 干涉条纹为**一组同心圆环**

等厚干涉

发源: 入射角一定(平行光入射), Δ 随薄膜厚度 d 变化

情形

- ① 薄膜同一厚度处对应同一干涉条纹
- ② 薄膜不同厚度处对应不同干涉条纹
- ③ 条纹形状与**薄膜等厚线**相同